

8090 铝—锂合金的热形变行为^①

贺维勇 高国忠 陈继志 侯风华

(中国科学院金属研究所)

摘要

通过热顶锻和热拉伸试验，研究了8090铝—锂合金的热形变行为。结果表明，该合金的可锻性较低，一次形变量不宜过大，铸态下的最佳变形温度在400~500℃之间；热形变过程为动态回复型，其晶粒在热形变过程中一方面被拉长，另一方面又发生回复并形成许多亚晶界。用透射电镜对不同形变量样品的薄膜观察结果表明，回复过程中，变形晶粒内出现位错聚集，并最终形成亚晶界。

关键词：8090铝—锂合金 热形变行为 拉伸 顶锻

铝—锂合金的比强度和比模量高，是制造航空部件的新材料之一。该类合金的组成比较复杂，熔炼和加工的要求也较严。在本文之前，已有不少研究者对其冶炼、加工及有关性能做了大量工作^[1,2]，但对其热形变行为及机制研究尚少。本文通过热顶锻和热拉伸试验，结合电镜观察，较深入地研究了该合金的热形变行为及组织变化。

1 实验过程

用真空感应炉在氩气保护下熔炼8090铝—锂合金，并浇注成重约4kg的铸锭，其化学组成(wt.-%)为：Al—2.5 Li—1.3 Cu—1.1 Mg—0.16 Zr。再在460℃保温24h后升到510℃保温10h进行均匀化热处理。一部分加工成d 14.6 mm×22 mm的顶锻试样，该试样的轴向与锭的轴向平行；另一部分锻成d 15 mm的圆棒。然后加工成d 10 mm×130 mm的拉伸试棒。顶锻试验是在不同的温度下进行的，每次试验的应变量均用垫圈控制；锻后观察试样的开裂情况及组织变化。拉伸试样先经530

℃保温1h水淬，再在真空中加热至550℃保温3min，以1℃/s的速度冷却到试验温度进行拉伸，至颈向应变量达0.5为止。试验温度分别为550、500、450、400和350℃。为了解形变过程，将不同应变量的拉伸样品水冷后制成薄膜，用电镜观察位错变化。并用金相显微镜观察应变量恒定、应变速率和形变温度不同时的样品组织变化。

2 实验结果及分析讨论

2.1 顶锻试验

2.1.1 顶锻试样的宏观状况

铸态顶锻试样的宏观状况如图1示。由其左图见，在500℃下顶锻，当一次应变量>0.87(相当于 $\Delta h/h=54\%$)时出现宏观裂纹；由其右图可见，一次应变量均为 $\Delta h/h=52\%$ 、形变温度<400℃时出现宏观裂纹；形变温度达550℃时出现过烧现象。

从不同温度、不同一次形变量的顶锻试样的开裂统计情况(图2)可以看出，形变温度在400~500℃时，一次形变量可达 $\varepsilon=0.78$ (相当

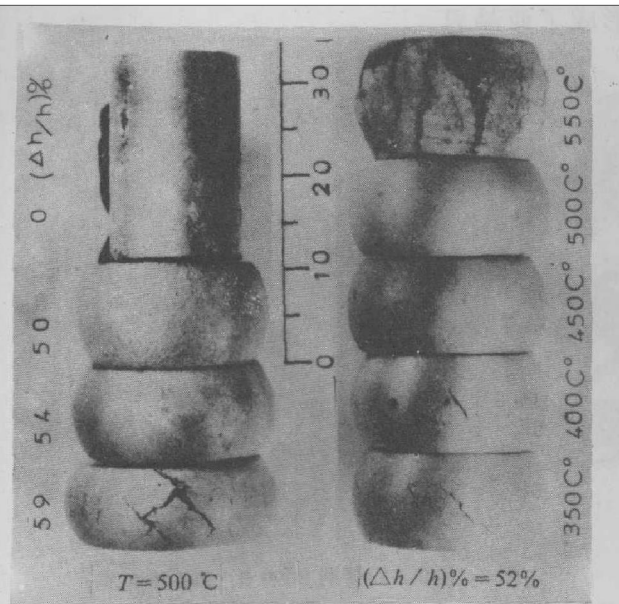
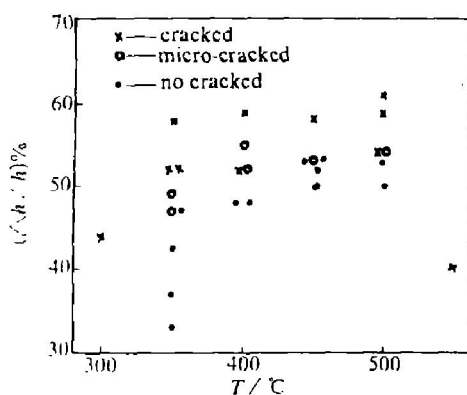


图1 顶锻试样的宏观状况

图2 形变温度 T 和形变量 $\Delta h / h$ 对试样开裂的影响

于 $\Delta h / h = 50\%$), 甚至更高; 而在低于 400 °C 或高于 500 °C 时, 一次应变量不到 0.78 就开裂了。这说明在 400~500 °C 之间合金的热塑性比较好, 特别是在 450 °C 时, 合金的热塑性最好, 一次应变量达 $\varepsilon = 0.85$ 时也没有产生宏观裂纹。

2.1.2 顶锻试样的显微组织

温度分别为 350、400、450、500 和 500 °C 时, 未变形样品的显微组织示于图 3。它表明随着温度的升高, 存在于晶界的第二相减少, 到 500 °C 时已基本看不到; 在较短的保温时间内, 晶粒无明显长大趋势, 但当保温时间

大于 15 min 后 550 °C 试样的晶粒大小已有明显的长大趋势。一次应变量为 0.78、500 °C 顶锻后的合金显微照片明显表明晶粒被强烈地压扁, 晶界上第二相被压碎, 并成链状排列(见图 4); 形变裂纹产生于晶界中第二相处, 并沿晶界扩展(图 5), 它表明晶界中第二相的存在对变形过程不利。

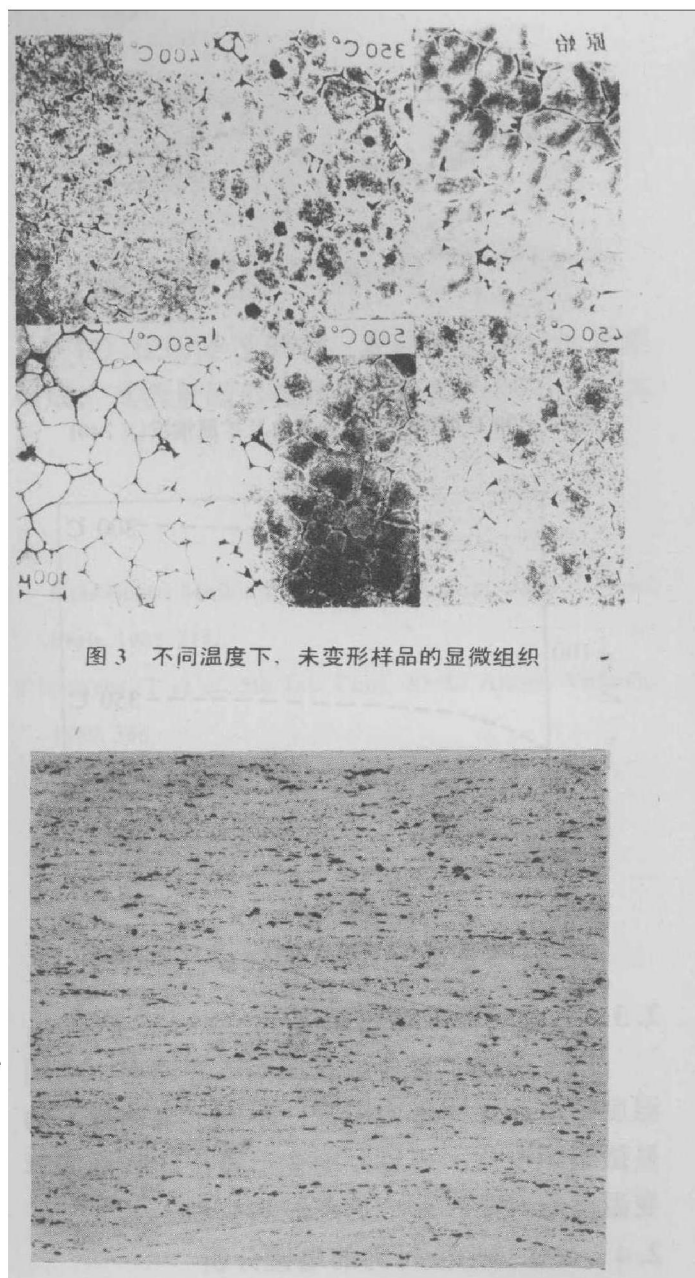


图3 不同温度下, 未变形样品的显微组织

图4 500 °C 顶锻后的显微组织($\times 85$)

2.2 拉伸试样的热形变行为

2.2.1 合金的热形变行为

图 6 给出的该合金在不同温度下的真应力-真应变曲线, 都是典型的动态回复曲线。随

试验温度的降低，合金的流变应力明显增加。由350℃降到300℃时，流变应力增加的幅度相当于由550℃降到350℃时的增加幅度，可见在较低温度时合金难于变形。

在550℃下做拉伸试验时，其应变速率和屈服应力的关系示于图7。可见，屈服应力随应变速率的增加而增加。

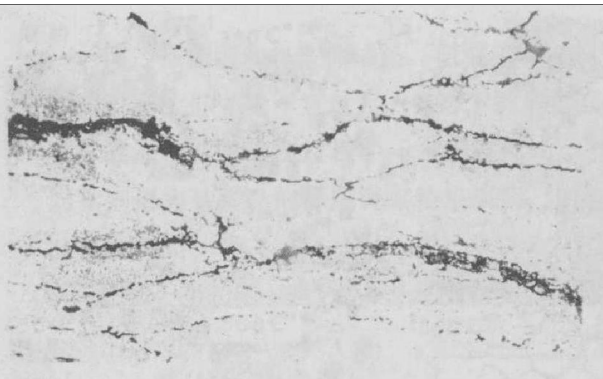


图5 500℃顶锻时裂纹的发生及扩展情况($\times 240$)

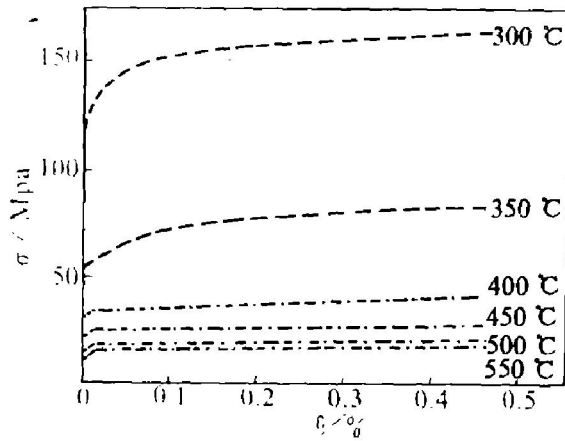


图6 合金在不同温度的真应力 σ -真应变 ε 曲线

2.3 合金的显微组织变化

图8给出了该合金在相同形变速率、不同温度下，和相同形变温度、不同形变速率下的显微组织变化。可见，随变形速率的降低或形变温度的升高，合金的晶粒均变细。

2.4 合金热形变行为的电镜分析

500℃下，应变速率为 10^{-3}s^{-1} 时，经不同应变量拉伸后的试样电镜分析结果如图9。可见，随应变量的增加，回复后，合金中的位错密度增加，并产生聚集现象。随应变量进一步增加，在回复过程中，位错聚集成位错链，

形成了亚晶界。

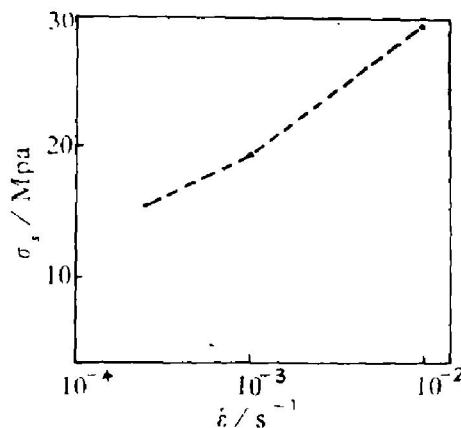


图7 500℃拉伸时8090铝-锂合金的屈服应力 $\sigma_{0.2}$ 与应变速率 $\dot{\epsilon}$ 的关系

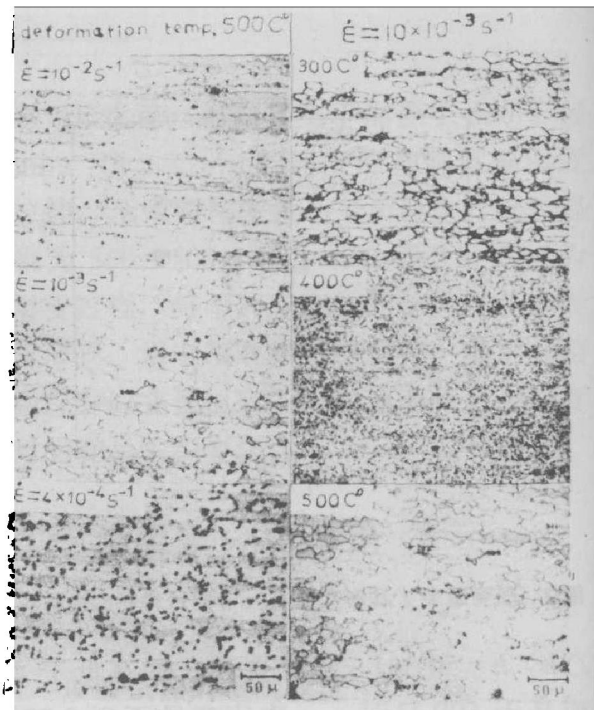


图8 变形速率 $\dot{\epsilon}$ 和形变温度对显微组织的影响

2.5 讨论

从该合金的形变组织(图4)可以看出，形变时，晶粒首先沿着易滑移面和易滑移方向滑移，使位错密度增加。随后晶粒伸长，在回复过程中，位错聚集形成亚晶界。此时，亚晶界由原晶界开始向晶内延伸(图9)，直到与另一晶界或与另一晶界形成的位错链联合，产生动态回复。

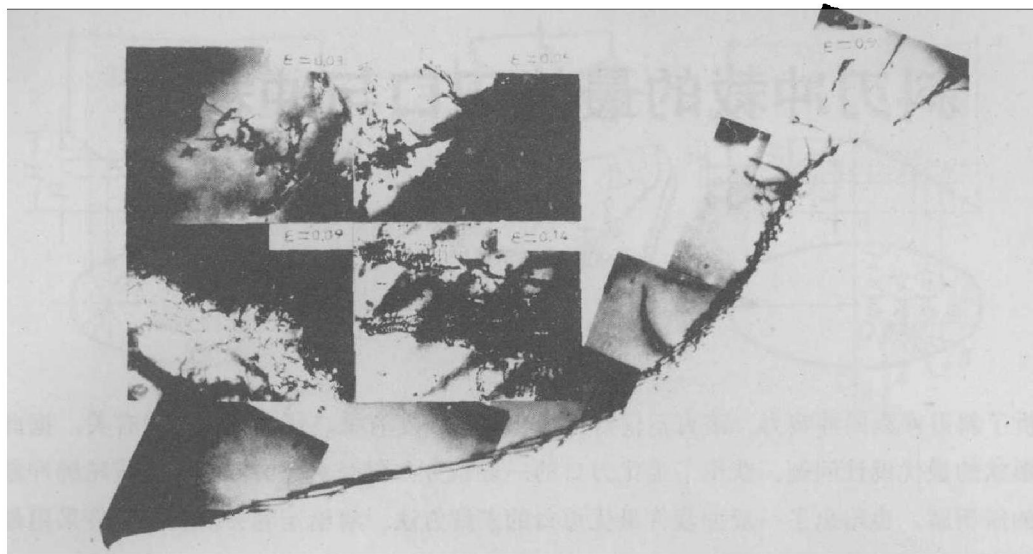


图9 不同应变量下的试样电镜分析结果

3 结论

(1) 8090 铝-锂合金的最佳热形变温度为 400~500 ℃, 一次应变值允许达 0.85 左右, 在低于 400 ℃或高于 500 ℃时, 合金的可锻性差易产生裂纹;

(2) 该合金的热形变行为属动态回复型, 回复过程中生成亚晶界, 亚晶界将变形晶粒划分成若干亚晶粒;

(3) 在回复过程中, 亚晶界由位错的聚集构成, 其数量随形变晶粒伸长的程度不同而各异。

参考文献

- 1 Ktakahashi Mnikura *et al.* 3 rd Int. Conf. Al-Li Alloys, Paris, 1985, 213.
- 2 Ahrens, T *et al.* 5th Int. Conf. Al-Li Alloys, Virginia, 1989, 386.